

# **Оказывает ли свет давление на пробный заряд?**

Степанов С.С.

Хорошо известно, что свет оказывает давление на объекты. С другой стороны, поведение пробного заряда в поле плоской электромагнитной волны таково, что его импульс не увеличивается со временем. Это вступает в кажущееся противоречие с фактом существования светового давления. В работе уточняются условия применимости совместных законов сохранения поля и зарядов. Показано, что световое давление является результатом самодействия заряда. Момент же импульса заряда в поле плоской волны с круговой поляризацией не растёт даже после учёта эффекта самодействия.

## **Содержание**

<b>1 Введение</b>	<b>3</b>
<b>2 Сохранение энергии поля и зарядов</b>	<b>4</b>
<b>3 Световое давление</b>	<b>6</b>
<b>4 Движение заряда</b>	<b>8</b>
<b>5 Релятивистский случай</b>	<b>10</b>
<b>6 Заключение</b>	<b>12</b>
<b>A Движение заряда в поле плоской волны</b>	<b>13</b>
<b>B Круговая поляризация</b>	<b>16</b>
<b>C Линейная поляризация</b>	<b>19</b>

---

Этот документ является приложением к книге:

### **РЕЛЯТИВИСТСКИЙ МИР**

**Сергей С. Степанов**

Последнюю версию документа и книги можно найти по адресу <http://synset.com>. Все найденные ошибки, замечания и предложения просьба присылать по почте [phys@synset.com](mailto:phys@synset.com).

Версия v1, 2011-04-08: Закон сохранения, движение пробного заряда.

Версия v2, 2011-04-20: Самодействие заряда и световое давление.

Версия v3, 2011-04-28: Релятивистский случай.

---

Печать документа: 2011-04-28

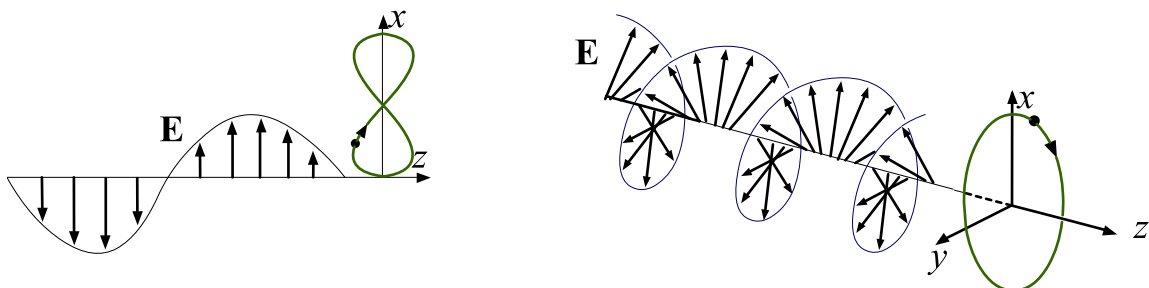
# 1 Введение

Хорошо известным теоретическим и экспериментальным фактом является наличие светового давления и момента импульса, переносимого поляризованной по кругу электромагнитной волной. Тем не менее, не смотря на более чем столетнюю историю этого вопроса, иногда, на основе законов сохранения, делаются неверные заключения и объяснения соответствующих эффектов.

Так, при обсуждении движения пробного заряда в поле электромагнитной волны, часто делается ссылка на совместные законы сохранения электромагнитного поля и зарядов. Например, утверждается, что смещение заряда в направлении волнового вектора связано со световым давлением, а закручивание траектории в направлении поляризации – с моментом импульса волны. Однако без некоторых важных оговорок подобные представления оказываются неверными.

То, что ситуация не столь однозначна, следует из известного характера поведения заряда в поле плоской электромагнитной волны. Например, если волна имеет линейную поляризацию, то существует инерциальная система отсчёта в которой заряд описывает восьмёрку, в среднем оставаясь на одном и том же месте ([1], [2], приложение С). Его траектория приведена ниже на левом рисунке. В любой другой системе отсчёта скорость заряда вдоль волнового вектора в среднем оказывается постоянной. Подобное “игнорирование” пробным зарядом светового давления, которое направлено по волновому вектору, выглядит несколько неожиданным.

Аналогично ведёт себя заряд в поле волны с круговой поляризацией. В этом случае он может двигаться по окружности в плоскости, перпендикулярной волновому вектору ([1], [2], приложение В). В такой системе отсчёта заряд вообще не изменяет своей скорости вдоль волнового вектора, по которому, собственно, и направлено световое давление (ниже правый рисунок). Не меняется также начальный момент импульса заряда (отсутствует “поглощение” момента импульса электромагнитной волны).



Возникает вопрос: почему подобные особенности поведения заряда в поле волны не согласуются с соответствующими законами сохранения?

## 2 Сохранение энергии поля и зарядов

Напомним вывод закона сохранения энергии-импульса [1]. При помощи следующих комбинаций напряжённостей поля ( $c = 1$ ):

$$W = \frac{\mathbf{E}^2 + \mathbf{B}^2}{8\pi}, \quad \mathbf{P} = \frac{\mathbf{E} \times \mathbf{B}}{4\pi} \quad (1)$$

и уравнений Максвелла несложно получить теорему Пойнтинга:

$$\frac{\partial W}{\partial t} + \nabla \cdot \mathbf{P} + \mathbf{E} \cdot \mathbf{j} = 0, \quad (2)$$

где  $\mathbf{j}$  – плотность тока, стоящая в уравнениях Максвелла. Физический смысл этого соотношения устанавливается в результате его интегрирования по некоторому объёму:

$$\frac{d}{dt} \int W dV + \oint \mathbf{P} d\mathbf{S} = - \int \mathbf{E} \cdot \mathbf{j} dV = - \sum_{k=1}^n q_k \mathbf{u}_k \mathbf{E}(\mathbf{r}_k),$$

где применена теорема Гаусса, а для тока записана сумма  $\delta$ -функций (т.е. предполагается, что внутри объёма находятся  $n$  точечных зарядов).

Изменение энергии движения заряда  $\mathcal{E} = m/\sqrt{1 - \mathbf{u}^2}$  равно скалярному произведению скорости заряда  $\mathbf{u}$  на силу  $\mathbf{F}$ :

$$\frac{d\mathcal{E}}{dt} = \mathbf{u} \cdot \mathbf{F} = \mathbf{u} (q\mathbf{E} + q\mathbf{u} \times \mathbf{B}) = q\mathbf{u} \cdot \mathbf{E}.$$

Поэтому интегральная теорема Пойнтинга записывается таким образом:

$$\frac{d}{dt} \left\{ \int W dV + \sum_{k=1}^n \mathcal{E}_k \right\} = - \oint \mathbf{P} d\mathbf{S}. \quad (3)$$

Левая часть этого соотношения интерпретируется как суммарная энергия поля и зарядов. Эта энергия изменяется при пересечении границы объёма потоком энергии (импульсом поля  $\mathbf{P}$ ).

Обратим внимание, что в дифференциальном уравнении (2) находятся токи, стоящие в уравнениях Максвелла. Это те заряды, которые *создают* поле. При получении интегрального соотношения (3) уже предполагается, что на эти заряды исходное поле действует силой Лоренца. Это “изменение” типа зарядов и определяет условия применимости закона сохранения (3).

Чаще всего при решении электродинамических задач считают, что есть некоторые *заданные* заряды и токи, которые создают поле (это поле получается в результате решения уравнений Максвелла). Кроме этого, существуют *пробные* заряды, которые в этом поле движутся под воздействием силы Лоренца. Их движение не изменяет внешнего поля, а сами заряды не излучают.

Несмотря на искусственность подобного алгоритма, он позволяет точно решить многие задачи и оказывается неплохим первым приближением к реальности. В рамках такого приближения обычно и рассматривается движение пробного заряда в поле электромагнитной волны.

Плоская волна распространяется в пустом пространстве, в котором плотность тока  $\mathbf{j}$  в уравнении (2) равна нулю. Поэтому совместного закона сохранения “поля + заряды” в модели пробного заряда просто не возникает. В области пространства, в которой движется *пробный* заряд, нет зарядов, создающих поле плоской электромагнитной волны.

Эту же мысль можно высказать по другому. Совместный закон сохранения для поля и зарядов предполагает, что часть энергии (импульса или момента импульса) поля передаётся зарядам. Само поле при этом должно терять энергию. Очевидно, что при решении задачи о поведении пробного заряда этого не происходит. Внешнее для него поле остаётся без изменения и, естественно, не может потерять энергию, которая “передаётся” заряду.

Абсолютно та же ситуация возникает при движении, например, в электростатическом поле. Если магнитного поля нет, то плотность импульса  $\mathbf{P}$  и момента импульса  $\mathbf{r} \times \mathbf{P}$  поля равны нулю. Однако это не мешает пробному заряду изменять свой импульс и момента импульса. Хотя он их “получает” при воздействии на него внешнего поля, никакого отношения к законам сохранения поля и зарядов это не имеет.

Когда же можно применять закон сохранения (3)? Очевидно тогда, когда заряды одновременно создают поле и подвергаются его воздействию. В этом случае нет разделения на пробные заряды и внешнее поле. Несмотря на математическую сложность подобной задачи, именно ей соответствует закон сохранения поля и зарядов.

Например, если электромагнитная волна поглощается пластинкой из некоторого материала, этой пластинке передаётся энергия, импульс и момент импульса волны. Как и “положено” для законов сохранения можно не рассматривать детали взаимодействия волны и пластиинки, подсчитав величины, входящие в (3) до и после взаимодействия.

На микроуровне процесс поглощения электромагнитной волны связан с тем, что заряды пластиинки испытывают воздействие со стороны волны и начинают излучать. Это излучение “гасит” исходную волну, в результате чего происходит её поглощение. В этом случае в законе сохранения (3) “после взаимодействия” должны стоять напряжённости не падающей волны, а суммарного поля, возникающего в результате сложения поля исходной волны и вторичных волн от зарядов пластины.

### 3 Световое давление

Интересно проследить как возникает световое давление, когда мы начинаем учитывать излучение пробного заряда. Будем считать, что его скорость невелика, и запишем уравнение движения с учётом лоренцевской силы торможения [1]:

$$m\dot{\mathbf{v}} = e\mathbf{E} + e[\mathbf{v} \times \mathbf{B}] + \frac{2}{3}e^2 \ddot{\mathbf{v}}, \quad (4)$$

где по-прежнему используется система единиц, в которой  $c = 1$ . Для восстановления скорости света необходимо все величины, имеющие размерность времени в некоторой степени, умножить на “ $c$ ” в той же степени. Кроме этого заряд и напряженности поля делятся на “ $c$ ”.

Будем измерять время в обратных единицах частоты  $\omega$  электромагнитной волны, а расстояния в единицах длин волн. Для этого сделаем следующие замены:

$$t \mapsto t/\omega, \quad \mathbf{r} \mapsto \mathbf{r}/\omega.$$

Уравнение движения в этих единицах имеет вид:

$$\dot{\mathbf{v}} = \frac{\alpha}{E_0} (\mathbf{E} + \mathbf{v} \times \mathbf{B}) + \mu \ddot{\mathbf{v}}, \quad (5)$$

где  $E_0$  – амплитуда волны и введены два безразмерных параметра  $\alpha$  и  $\mu$ . Первый параметр определяется мощностью падающей электромагнитной волны (восстанавливаем константу  $c$ ):

$$\alpha = \frac{eE_0}{\omega mc} = \lambda \left( \frac{r_e I_0}{\pi m c^3} \right)^{1/2} \sim 3 \cdot 10^{-12+n/2}, \quad (6)$$

где  $r_e = e^2/mc^2 = 2.8 \cdot 10^{-15}$  м – классический радиус электрона ( $m$  – масса электрона),  $\lambda = 2\pi c/\omega = 500$  нм – длина волны света и мощность световой волны на единицу площади равна  $I_0 = cE_0^2/4\pi = 10^n$  Вт/м<sup>2</sup>. На поверхности Земли  $I_0 \sim 10^3$  Вт/м<sup>2</sup> (т.е.  $n = 3$ ). Для наиболее мощных лазерных установок интенсивность достигает  $10^{24}$  Вт/м<sup>2</sup> ( $n = 24$ ), правда, для очень коротких импульсов.

Второй безразмерный параметр задачи связан с излучением заряда:

$$\mu = \frac{2}{3} \frac{e^2 \omega}{mc^3} = \frac{4\pi}{3} \frac{r_e}{\lambda} \sim 2 \cdot 10^{-8}. \quad (7)$$

Поэтому для большинства экспериментальных условий, позволяющих измерить световое давление,  $\mu < \alpha \ll 1$ . Кроме этого малым параметром мы будем считать скорость частицы ( $v \ll 1$ ), измеряемую в единицах скорости света.

Как известно, уравнение (4) не является вполне удовлетворительным. В частности, для свободного заряда оно приводит к физически бессмысличному самоускоряющемуся решению. Чтобы избежать подобных трудностей будем считать реакцию излучения малой и решать уравнение (4) методом последовательных приближений [1]. Для этого сначала найдём движение заряда во внешнем поле без учёта излучения:

$$\dot{\mathbf{v}} = \frac{\alpha}{E_0} (\mathbf{E} + \mathbf{v} \times \mathbf{B}). \quad (8)$$

Продифференцировав это уравнение по времени и выразив  $\dot{\mathbf{v}}$  с его же помощью, получим следующее для силы самодействия:

$$\mu\ddot{\mathbf{v}} \approx \frac{\alpha\mu}{E_0} \left( \frac{d\mathbf{E}}{dt} + \mathbf{v} \times \frac{d\mathbf{B}}{dt} \right) + \frac{\alpha^2\mu}{E_0^2} [\mathbf{E} \times \mathbf{B}], \quad (9)$$

где опущено слагаемое порядка  $\alpha^2\mu v$ .

Рассмотрим поляризованную по кругу плоскую волну, распространяющуюся в положительном направлении оси  $z$  ( $E_z = B_z = 0$ ):

$$E_x = E_0 \cos(t - z), \quad E_y = E_0 \sin(t - z), \quad B_x = -E_y, \quad B_y = E_x.$$

Уравнение движения (5) в компонентах имеет вид:

$$\begin{cases} \dot{v}_x = \alpha(1 - v_z) \cos(t - z) + \mu\ddot{v}_x, \\ \dot{v}_y = \alpha(1 - v_z) \sin(t - z) + \mu\ddot{v}_y, \\ \dot{v}_z = \alpha v_x \cos(t - z) + \alpha v_y \sin(t - z) + \mu\ddot{v}_z. \end{cases} \quad (10)$$

Интегрируя первые два уравнения и подставляя вместо  $\mu\dot{\mathbf{v}}$  выражение (8), имеем:

$$\begin{cases} v_x = \alpha \sin(t - z) + \alpha\mu(1 - v_z) \cos(t - z) + \alpha(s_0 - \mu c_0), \\ v_y = -\alpha \cos(t - z) + \alpha\mu(1 - v_z) \sin(t - z) + \alpha(c_0 + \mu s_0), \end{cases} \quad (11)$$

где предполагается, что в начальный момент времени  $t = 0$  частица находилась в точке  $z = z_0$  и имела нулевую скорость, а  $s_0 = \sin z_0$ ,  $c_0 = \cos z_0$ . Третье уравнение системы (10) с учётом (9) имеет вид:

$$\dot{v}_z = \alpha^2\mu + \alpha(v_x + \mu v_y) \cos(t - z) + \alpha(v_y - \mu v_x) \sin(t - z), \quad (12)$$

где опущены слагаемые порядка  $\alpha\mu v^2$ . Первое слагаемое в правой части (12) приводит в среднем к линейному росту со временем скорости заряда вдоль волнового вектора. Естественно в отсутствии излучения заряда ( $\mu = 0$ ) этого слагаемого нет. Его происхождение связано с последним членом в выражении для силы трения Лоренца (9), который пропорционален давлению поля  $\mathbf{P} = [\mathbf{E} \times \mathbf{B}]/4\pi$ .

## 4 Движение заряда

Решение записанных выше уравнений можно представить в параметрическом виде, также как это сделано в приложении А. Однако мы рассматриваем случай малых скоростей и малых значений параметра  $\alpha$ . Поэтому имеет смысл сразу записать решение в ведущем приближении по  $\alpha$ . Несложно видеть, что проекции скорости заряда в плоскости  $x, y$  (11) имеют порядок  $\alpha$ . Поэтому из (12) следует, что  $v_z$  имеет порядок  $\alpha^2$ . В нулевом приближении по  $\alpha^2$  имеем  $\dot{v}_z = 0$  или  $z = z_0$ . Поэтому с точностью до  $\alpha^2$  в уравнениях (11) можно положить  $z = z_0$ :

$$\begin{cases} v_x = \alpha \sin(t - z_0) + \alpha\mu \cos(t - z_0) + \alpha(s_0 - \mu c_0), \\ v_y = -\alpha \cos(t - z_0) + \alpha\mu \sin(t - z_0) + \alpha(c_0 + \mu s_0), \end{cases} \quad (13)$$

где опущен член  $\alpha\mu v_z$ , имеющий порядок  $\alpha^3\mu$ . Аналогично в (12):

$$\dot{v}_z = \alpha^2\mu + \alpha(v_x + \mu v_y) \cos(t - z_0) + \alpha(v_y - \mu v_x) \sin(t - z_0). \quad (14)$$

Подставляя в правую часть  $v_x$  и  $v_y$  из (13), получаем уравнение:

$$\dot{v}_z = \alpha^2\mu + \alpha^2 \sin t,$$

интегрируя которое, имеем:

$$v_z = \alpha^2\mu t + \alpha^2(1 - \cos t). \quad (15)$$

Таким образом, продольная скорость заряда в среднем линейно увеличивается со временем. Восстановим размерные константы в выражении для средней силы, действующей на заряд в направлении волнового вектора:

$$m\ddot{v}_z = m\alpha^2\mu = \frac{2}{3} \frac{e^4 E_0^2}{m^2 c^3} = \frac{8}{3} \pi r_e^2 \cdot \frac{c E_0^2}{4\pi} = S \cdot P. \quad (16)$$

Любопытно, что, с точностью до числового множителя сила, действующая на заряд равна стандартному световому давлению  $P = cE_0^2/4\pi$  умноженному на “эффективную площадь поверхности”  $S$  электрона с классическим радиусом  $r_e = e^2/mc^2$ . Например, если обычный шарик радиуса  $r$  полностью поглощает, падающее на него излучение плоской волны то его эффективная площадь, обращённая в сторону светового потока будет равна  $S = \pi r^2$ . Правда в рассматриваемом случае длина волны света существенно больше, чем классический радиус электрона, поэтому модель поглощения света поверхностью без учёта дифракции не является корректной. Как впрочем и представление об электроне в виде шарика с радиусом  $r_e$ .

Пусть заряд при  $t = 0$  покоялся в точке  $x = y = 0, z = z_0$ . Тогда его координаты изменяются со временем следующим образом:

$$\begin{aligned}x &= \alpha(s_0 - \mu c_0) t - \alpha \cos(t - z_0) + \alpha \mu \sin(t - z_0) + \alpha(c_0 + \mu s_0), \\y &= \alpha(c_0 + \mu s_0) t - \alpha \sin(t - z_0) - \alpha \mu \cos(t - z_0) - \alpha(s_0 - \mu c_0), \\z &= z_0 + \alpha^2 \mu t^2 / 2 + \alpha^2 (t - \sin t).\end{aligned}$$

Эта траектория имеет спиралеобразную форму. Эта спираль наклонена к оси  $z$  и ускорено вдоль неё растягивается. Представим совокупность зарядов с различными значениями  $z_0$ , и усредним по различным  $z_0$ . Тогда в среднем такое “облако” зарядов двигается вдоль оси  $z$  с ускорением  $\alpha^2 \mu$ , находясь внутри расширяющегося конуса.

Найдём проекцию момента импульса заряда на волновой вектор. Прямое вычисление  $\mathbf{M} = \mathbf{r} \times m\mathbf{v}$  приводит к знакопеременной функции времени с растущей амплитудой. Связано это с тем, что спираль траектории заряда постоянно удаляется от начала отсчёта. Чтобы учесть это, перейдём в систему отсчёта, начало которой движется следующим образом:

$$\bar{\mathbf{r}}_0(t) = \{\alpha(s_0 - \mu c_0) t, \quad \alpha(c_0 + \mu s_0) t, \quad z_0 + \alpha^2 t + \alpha^2 \mu t^2 / 2\}.$$

Проекция момента импульса  $(\mathbf{r} - \bar{\mathbf{r}}_0) \times m(\mathbf{v} - \dot{\bar{\mathbf{r}}}_0)$  в этой системе в среднем постоянна:

$$M_z = m\alpha^2(1 + \mu^2)(1 - \cos t). \quad (17)$$

Проекции момента на оси  $x$  и  $y$  зависят от начального положения частицы  $z_0$  (фазы электромагнитной волны):

$$M_x = -\alpha(s_0 - \mu c_0) M_z, \quad M_y = -\alpha(c_0 + \mu s_0) M_z.$$

При усреднении их по различным  $z_0$  они оказываются равным нулю.

Таким образом, даже при учёте самодействия, в рассмотренном выше приближении не происходит постоянного увеличения момента импульса частицы, которое обычно ожидают от поляризованной по кругу волны. Исходно неподвижная частица приобретает в среднем постоянный момент вдоль оси  $z$ , который в дальнейшем не увеличивается, испытывая колебания со временем. Выражение (17) отличается от аналогичного для пробного заряда без самодействия ( $\mu = 0$ ) лишь постоянным множителем  $1 + \mu^2$ , который в рассмотриваемом приближении можно опустить.

В отличие от момента импульса, импульс частицы в направлении волнового вектора, после учёта эффекта самодействия, начинает увеличиваться со временем, что можно интерпретировать как световое давление.

## 5 Релятивистский случай

Релятивистское уравнение движения с учётом силы трения Лоренца имеет вид [1]:

$$m \frac{dV^\nu}{d\tau} = e F^{\nu\beta} V_\beta + \frac{2e^2}{3} \left( \frac{d^2 V^\nu}{d\tau^2} - V^\nu V^\beta \frac{d^2 V_\beta}{d\tau^2} \right),$$

где  $V^\nu$  – 4-скорость,  $F^{\nu\beta}$  – 4-тензор электромагнитного поля и  $\tau = t/\gamma$  – собственное время частицы, где  $\gamma = 1/\sqrt{1 - \mathbf{v}^2}$ . Релятивистское выражение для силы трения Лоренца при малых скоростях пропорционально  $\ddot{\mathbf{v}}$  и является ортогональным к 4-скорости.

Переходя к безразмерным координатам и времени  $t \mapsto t/\omega$ ,  $\mathbf{r} \mapsto \mathbf{r}/\omega$ , имеем:

$$\frac{dV^\nu}{d\tau} = \frac{\alpha}{E_0} F^{\nu\beta} V_\beta + \mu \left( \frac{d^2 V^\nu}{d\tau^2} - V^\nu V^\beta \frac{d^2 V_\beta}{d\tau^2} \right),$$

где как и раньше  $E_0$  – постоянная, равная характерной напряжённости поля, а константы  $\alpha$  и  $\mu$  определены в (6) и (7).

Воспользуемся методом итераций по параметру  $\mu$ . Для этого, в выражение для силы трения подставим силу Лоренца без учёта излучения. В результате имеем [1]:

$$\frac{dV^\nu}{d\tau} = \frac{\alpha}{E_0} F^{\nu\beta} V_\beta + \frac{\alpha\mu}{E_0} \frac{dF^{\nu\beta}}{d\tau} V_\beta + \frac{\alpha^2\mu}{E_0^2} F^{\nu\beta} F_{\beta\sigma} V^\sigma + \frac{\alpha^2\mu}{E_0^2} (F_{\beta\sigma} V^\sigma) (F^{\beta\gamma} V_\gamma) V^\nu.$$

Учитывая, что свёртка произвольного 4-вектора  $A_\beta$  с 4-тензором поля имеет следующие компоненты:

$$F^{\nu\beta} A_\beta = \{\mathbf{EA}, \mathbf{EA}^0 + \mathbf{A} \times \mathbf{B}\},$$

а компоненты 4-скорости равны  $V^\nu = \gamma\{1, \mathbf{v}\}$ , перепишем уравнение движения в 3-мерном виде:

$$\begin{aligned} \frac{d(\gamma\mathbf{v})}{dt} &= \frac{\alpha}{E_0} (\mathbf{E} + \mathbf{v} \times \mathbf{B}) + \gamma \frac{\alpha\mu}{E_0} \left( \frac{d\mathbf{E}}{dt} + \mathbf{v} \times \frac{d\mathbf{B}}{dt} \right) + \frac{\alpha^2\mu}{E_0^2} \mathbf{E} \times \mathbf{B} \\ &+ \frac{\alpha^2\mu}{E_0^2} [(\mathbf{v}\mathbf{E})\mathbf{E} + (\mathbf{v}\mathbf{B})\mathbf{B} - \mathbf{B}^2\mathbf{v} + (\mathbf{v}\mathbf{E})^2\gamma^2\mathbf{v} - (\mathbf{E} + \mathbf{v} \times \mathbf{B})^2\gamma^2\mathbf{v}]. \end{aligned}$$

Первая строка в этом уравнении за исключением лоренцевского фактора  $\gamma$  соответствует рассмотренной ранее нерелятивистской динамике.

Подставляя напряжённости поляризованной по кругу плоской волны  $\mathbf{E} = E_0 \{C, S, 0\}$ ,  $\mathbf{B} = E_0 \{-S, C, 0\}$ , где  $C = \cos(t - z)$ ,  $S = \sin(t - z)$ , для проекций скорости, перпендикулярных волновому вектору имеем:

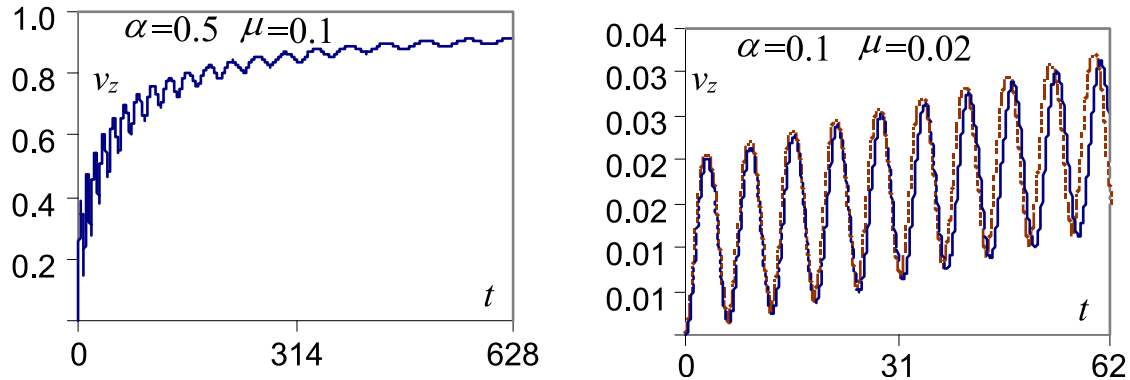
$$\frac{d(\gamma v_x)}{dt} = \alpha (1 - v_z)C - \alpha \mu \gamma (1 - v_z)^2 S - \alpha^2 \mu v_x \gamma^2 (1 - v_z)^2,$$

$$\frac{d(\gamma v_y)}{dt} = \alpha (1 - v_z)S + \alpha \mu \gamma (1 - v_z)^2 C - \alpha^2 \mu v_y \gamma^2 (1 - v_z)^2.$$

Уравнение для продольной проекции скорости имеет вид:

$$\frac{d(\gamma v_z)}{dt} = \alpha [v_x C + v_y S] - \alpha \mu \gamma (1 - v_z) [v_x S - v_y C] + \alpha^2 \mu (1 - v_z) [1 - \gamma^2 (v_z - v_z^2)].$$

Решим эту систему численно и сравним с выражением для силы, полученной в нерелятивистском приближении. Чтобы эффект светового давления был заметен выберем константы  $\alpha$  и  $\mu$  достаточно большими. Как и раньше, считаем, что в начальный момент времени заряд был неподвижен. Ниже на левом графике приведена функция  $v_z(t)$  при  $\alpha = 0.5$ ,  $\mu = 0.1$ . Время равное  $t = 2\pi \approx 6.28$  соответствует одному периоду колебания электромагнитной волны. На правом графике параметры уменьшены в 5 раз и пунктиром изображено приближенное решение (15), полученное в рамках нерелятивистского уравнения.



Скорость заряда  $v_z$  в направлении волнового вектора растёт, постепенно приближаясь к единице (скорости света). Наличие в уравнении фактора  $1 - v_z$  “замораживает” динамику при  $v_z \rightarrow 1$ . В ультрарелятивистском случае амплитуда колебаний скорости уменьшается, а период этих колебаний растёт. Поперечные компоненты скорости ведут себя аналогично динамике без учёта силы трения излучением (приложение B). Если в начальный момент времени  $z_0 = 0$ , то скорость заряда вдоль оси  $x$  испытывает периодические колебания и в среднем остаётся равной нулю. Компонента вдоль оси  $y$  также периодически изменяется. Однако она приобретает в среднем отличное от нуля значение  $\gamma v_y \approx \alpha$ .

## 6 Заключение

Закон сохранения энергии и импульса поля + зарядов не применим к пробному, неизлучающему заряду. Только учёт трения излучением приводит к появлению ускорения заряда вдоль волнового вектора электромагнитной волны. Другими словами световое давление возникает в результате взаимодействия заряда с собственным излучением, возникающим в результате воздействия на него внешнего поля электромагнитной волны. Сама по себе электромагнитная волна не оказывает на заряд давления (по крайней мере до тех пор, пока заряд рассматривается как пробный и игнорируются эффекты, связанные с его излучением).

Отметим также, что в рассмотренном приближении не возникает эффекта увеличения момента импульса заряда, который обычно приписывается поляризованной по кругу плоской волне.

Материалы этих заметок возникли в результате обсуждения вопроса о спине электромагнитной волны на форуме dx dy.ru. Автор благодарит участников форума с никами **Munin**, **Pulse** и **Obar** за многочисленные стимулирующие дискуссии и нетривиальные мысли.

## Список литературы

- [1] Ландау Л.Д., Лифшиц Е.М. — “*Теоретическая физика. Теория поля*”, Т.2, М.: Наука (1988)
- [2] Болотовский Б.М., Серов А.В. — ”*Особенности движения частиц в электромагнитной волне*”, УФН, **173**, N6 с.667-678, (2003)

# Приложения

## A Движение заряда в поле плоской волны

Рассмотрим плоскую монохроматическую электромагнитную волну с эллиптической поляризацией, распространяющуюся вдоль оси  $z$ :

$$E_x = E_0 \cos(\omega t - kz), \quad E_y = \sigma E_0 \sin(\omega t - kz), \quad B_x = -E_y, \quad B_y = E_x.$$

Если волна имеет линейную поляризацию, то  $\sigma = 0$ , а для круговой поляризации  $\sigma = \pm 1$ . Частота волны равна  $\omega$ , волновой вектор  $k = \omega$  и выбрана система единиц в которой  $c = 1$ .

Уравнения движения для частицы с массой  $m$  и зарядом  $e$  имеют вид:

$$\dot{\mathbf{p}} = \frac{d\mathbf{p}}{dt} = e\mathbf{E} + e\mathbf{v} \times \mathbf{B}.$$

Будем измерять время в обратных единицах частоты, а расстояния в единицах длин волн. Для этого сделаем следующие замены:

$$t \mapsto t/\omega, \quad \mathbf{r} \mapsto \mathbf{r}/\omega.$$

Уравнение движения в этих единицах имеет вид:

$$\dot{\mathbf{p}} = \frac{m}{E_0} \alpha (\mathbf{E} + \mathbf{v} \times \mathbf{B}), \quad \alpha = \frac{eE_0}{\omega m}.$$

Запишем уравнения движения в компонентах:

$$\begin{cases} \dot{p}_x = a(1 - v_z) \cos(t - z), \\ \dot{p}_y = b(1 - v_z) \sin(t - z), \\ \dot{p}_z = av_x \cos(t - z) + bv_y \sin(t - z), \end{cases} \quad (18)$$

где для сокращения введены константы  $a = \alpha m$ ,  $b = \sigma \alpha m$ . Изменение энергии движения  $\mathcal{E} = m/\sqrt{1 - \mathbf{v}^2}$ , с учётом (18) равно:

$$\frac{d\mathcal{E}}{dt} = \mathbf{v}\dot{\mathbf{p}} = v_x\dot{p}_x + v_y\dot{p}_y + v_z\dot{p}_z = \frac{dp_z}{dt}.$$

Поэтому справедлив закон сохранения:

$$\mathcal{E} - p_z = \pi_0 = \mathcal{E}_0 - p_{z0} = const, \quad (19)$$

где  $\mathcal{E}_0$ ,  $p_{z0}$  – энергия частицы и проекция импульса на ось  $z$  в начальный момент времени  $t = 0$ . Первые два уравнения (18) легко интегрируются:

$$\begin{aligned} p_x &= p_{x0} + a[\sin(t - z) + s_0], \\ p_y &= p_{y0} - b[\cos(t - z) - c_0], \end{aligned} \quad (20)$$

где  $c_0 = \cos(z_0)$ ,  $s_0 = \sin(z_0)$  и начальные значения координаты  $z_0$  и проекций импульса  $p_{x0}$ ,  $p_{y0}$  соответствуют моменту времени  $t = 0$ .

Решение будем искать в параметрическом виде, используя вместо времени  $t$  параметр

$$\tau = t - z(t) + z_0.$$

Для него  $\dot{\tau} = 1 - \dot{z} = 1 - v_z$ . Из закона сохранения (19) и связи энергии импульса и скорости  $p_z = \mathcal{E}v_z$  имеем:

$$\mathcal{E}\dot{\tau} = \pi_0 \quad (21)$$

или учитывая зависимость энергии от скорости

$$d\tau = \frac{\pi_0}{\mathcal{E}(t)} dt = \frac{\pi_0}{m} \sqrt{1 - \mathbf{v}^2(t)} dt.$$

Таким образом, с точностью до постоянного множителя  $\pi_0/m$ , параметр  $\tau$  является собственным временем заряда. Производная  $\dot{\tau} > 0$  всегда положительна, поэтому собственное время  $\tau$  и время лабораторной (неподвижной) системы отсчёта  $t$  связаны монотонно растущей зависимостью.

Используя введенный параметр  $\tau$  и соотношение  $\mathbf{p} = \mathcal{E}\mathbf{v}$ , систему (20) можно переписать следующим образом:

$$\begin{aligned} \mathcal{E}\dot{x} &= p_{x0} + a[\sin(\tau - z_0) + s_0], \\ \mathcal{E}\dot{y} &= p_{y0} - b[\cos(\tau - z_0) - c_0]. \end{aligned} \quad (22)$$

Кроме этого из (21), (19) и третьего уравнения (18) следует уравнение для энергии:

$$\dot{\mathcal{E}} = \dot{x}a \cos(\tau - z_0) + \dot{y}b \sin(\tau - z_0). \quad (23)$$

Уравнения системы (22) позволяют выразить координаты частицы через параметр  $\tau$ . Так как  $\mathcal{E}\dot{x} = \mathcal{E}\dot{\tau} dx/d\tau = \pi_0 dx/d\tau$  и аналогично для  $\dot{y}$ , после интегрирования имеем:

$$\begin{aligned} x &= x_0 + \frac{p_{x0} + as_0}{\pi_0} \tau - \frac{a}{\pi_0} [\cos(\tau - z_0) - c_0], \\ y &= y_0 + \frac{p_{y0} + bc_0}{\pi_0} \tau - \frac{b}{\pi_0} [\sin(\tau - z_0) + s_0]. \end{aligned}$$

Третья координата равна  $z = z_0 + t - \tau$ .

Умножая (23) на  $\mathcal{E}$ , подставляя в правую часть уравнения (22) и деля обе части на  $\mathcal{E}\dot{\tau} = \pi_0$ , получаем:

$$\frac{d\mathcal{E}}{d\tau} = \frac{ap_{x0} + a^2s_0}{\pi_0} \cos(\tau - z_0) + \frac{bp_{y0} + b^2c_0}{\pi_0} \sin(\tau - z_0) + \frac{a^2 - b^2}{2\pi_0} \sin(2\tau - 2z_0).$$

Интегрируя, находим зависимость энергии от параметра  $\tau$ :

$$\begin{aligned} \mathcal{E} &= \mathcal{E}_0 + \frac{ap_{x0} + a^2s_0}{\pi_0} [\sin(\tau - z_0) + s_0] - \frac{bp_{y0} + b^2c_0}{\pi_0} [\cos(\tau - z_0) - c_0] \\ &\quad - \frac{a^2 - b^2}{2\pi_0} [\cos^2(\tau - z_0) - c_0^2]. \end{aligned}$$

Осталось найти связь времени и параметра  $\tau$ . Проинтегрировав уравнение (22):  $\mathcal{E}d\tau = \pi_0 dt$ , получаем:

$$\begin{aligned} t &= \frac{\mathcal{E}_0}{\pi_0} \tau - \frac{ap_{x0} + a^2 s_0}{\pi_0^2} [\cos(\tau - z_0) - c_0 - s_0 \tau] \\ &\quad - \frac{bp_{y0} + b^2 c_0}{\pi_0^2} [\sin(\tau - z_0) + s_0 - c_0 \tau] \\ &\quad - \frac{a^2 - b^2}{4\pi_0^2} [\cos(\tau - z_0) \sin(\tau - z_0) + c_0 s_0 + (1 - 2c_0^2)\tau]. \end{aligned}$$

Эти соотношения дают общее решение задачи движения заряда в поле электромагнитной волны.

Иногда необходимо усреднять те или иные физические величины. Усреднение по *физическому* времени  $t$ , осуществляется следующим образом:

$$\langle f(\tau) \rangle = \lim_{T \rightarrow \infty} \frac{1}{T} \int_0^T f(\tau) dt = \lim_{T \rightarrow \infty} \frac{1}{T} \int_0^{\tau(T)} \frac{f(\tau)}{\dot{\tau}} d\tau.$$

Введём параметр наклона между физическим временем  $t$  и параметром  $\tau$  в асимптотическом режиме:

$$\frac{\tau_0}{\pi_0} = \lim_{\tau \rightarrow \infty} \frac{t}{\tau}.$$

Так как при усреднении необходимо вычислить предел, то функцию  $\tau(T)$  на верхней границе интегрирования можно заменить на  $T\pi_0/\tau_0$ . Переобозначая переменную, по которой берётся предел  $T \mapsto T\tau_0/\pi_0$  и учитывая, что  $\mathcal{E}\dot{\tau} = \pi_0$ , окончательно получаем:

$$\langle f(\tau) \rangle = \lim_{T \rightarrow \infty} \frac{1}{T} \int_0^T \frac{f(\tau) \mathcal{E}(\tau)}{\tau_0} d\tau. \quad (24)$$

Как мы увидим далее, если  $\alpha \ll 1$ , то  $t \approx \tau$  и при усреднении можно интегрировать исходную функцию просто по  $\tau$ . В противном случае необходимо пользоваться более точной формулой (24).

## B Круговая поляризация

Пусть  $\sigma = \pm 1$ ,  $a = m\alpha$ ,  $b = \pm m\alpha$ . Решение достаточно просто выглядит, если частица в начальный момент времени покоится  $p_{0x} = p_{0y} = p_{0z} = 0$ ,  $\pi_0 = \mathcal{E}_0 = m$ . Время и энергия в параметрической записи равны:

$$t = \tau + \alpha^2 (\tau - \sin \tau), \quad \mathcal{E}/m = 1 + \alpha^2 (1 - \cos \tau). \quad (25)$$

Координаты частицы

$$\begin{aligned} x &= x_0 + \alpha [\tau s_0 + c_0 - \cos(\tau - z_0)], \\ y &= y_0 \pm \alpha [\tau c_0 - s_0 - \sin(\tau - z_0)], \\ z &= z_0 + \alpha^2 (\tau - \sin \tau). \end{aligned}$$

Компоненты импульса:

$$\begin{aligned} p_x/m &= \alpha [s_0 + \sin(\tau - z_0)], \\ p_y/m &= \pm \alpha [c_0 - \cos(\tau - z_0)], \\ p_z/m &= \alpha^2 [1 - \cos \tau]. \end{aligned} \quad (26)$$

Напомним, что  $c_0 = \cos z_0$ ,  $s_0 = \sin z_0$ .

Так как частица в среднем с постоянной скоростью удаляется от начального положения, момент импульса относительно точки  $\mathbf{r} = \{x_0, y_0, z_0\}$  будет испытывать осцилляторные колебания с возрастающей амплитудой. Чтобы учесть это удаление будем вычислять момент относительно среднего положения заряда  $\bar{\mathbf{r}} = \{\bar{x}, \bar{y}, \bar{z}\}$  (усреднение по  $\tau$ ):

$$\bar{x} = x_0 + \alpha [\tau s_0 + c_0], \quad \bar{y} = y_0 \pm \alpha [\tau c_0 - s_0], \quad z = z_0 + \alpha^2 \tau.$$

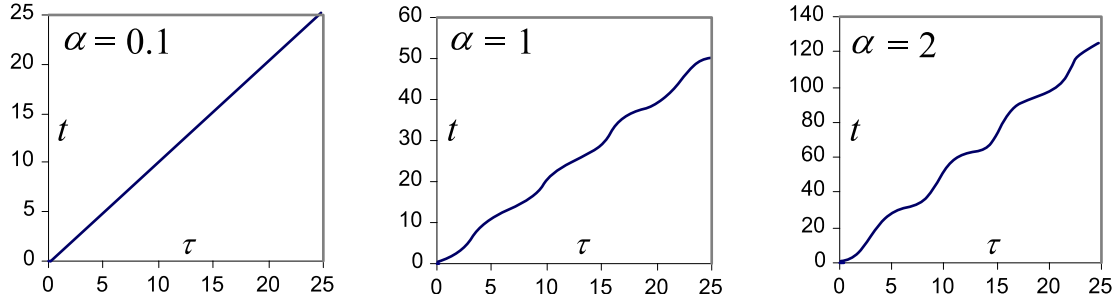
Тогда проекции момента импульса  $\mathbf{M} = (\mathbf{r} - \bar{\mathbf{r}}) \times \mathbf{p}$  равны:

$$M_z = \pm m\alpha^2 (1 - \cos \tau),$$

$$M_x = -\alpha \sin(z_0) M_z, \quad M_y = \mp \alpha \cos(z_0) M_z.$$

Таким образом, энергия и момент импульса испытывают периодические колебания. К начальной энергии  $\mathcal{E}_0 = m$  периодически добавляется величина  $2m\alpha^2$ , затем энергия падает к исходному значению, и т.д. Средний прирост энергии положителен. В поле волны частица сносится не только в направлении распространения волны, но и в перпендикулярном направлении, зависящем от значения фазы волны (координаты  $z_0$  частицы в начальный момент времени).

Ниже на рисунках приведена зависимость  $t$  от  $\tau$  для покоящейся в начальный момент времени  $t = 0$  частицы. При малых значениях  $\alpha$  справедливо равенство  $t \approx \tau$ :

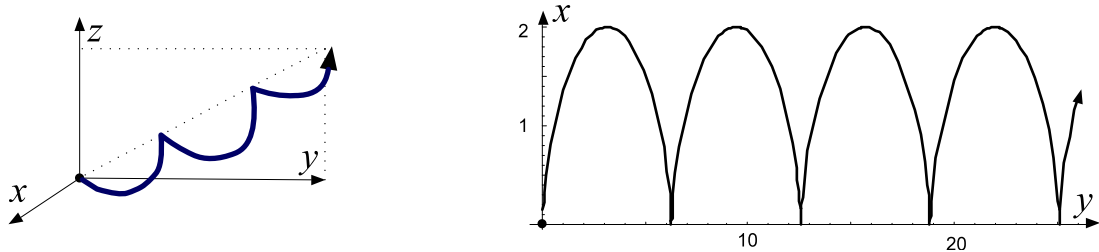


Совпадение собственного времени  $\tau$  и времени лабораторной системы  $t$  свидетельствует, что малому параметру  $\alpha$  соответствует нерелятивистское движение частицы. В частности, в ведущем по  $\alpha$  приближении, деля (26) на энергию (25) получаем следующие значения для компонент скорости:

$$\begin{aligned} v_x &= \alpha [s_0 + \sin(\tau - z_0)] + O(\alpha^3), \\ v_y &= \pm\alpha [c_0 - \cos(\tau - z_0)] + O(\alpha^3), \\ v_z &= \alpha^2 (1 - \cos \tau) + O(\alpha^4). \end{aligned}$$

В выбранной системе единиц скорость измеряется в единицах скорости света. Поэтому константа  $\alpha$  характеризует типичную скорость частицы в перпендикулярной к распространению волны плоскости. В продольном направлении, приобретаемая в среднем скорость существенно меньше и в этом приближении равна  $\alpha^2$ .

Если  $x_0 = y_0 = z_0 = 0$ , то изначально неподвижный заряд в среднем смещается по оси  $z$  и  $y$ , совершая колебания с ограниченной по оси  $x$  амплитудой ( $b = a$ ):



Направление смещения заряда в плоскости  $xy$  зависит от его начального положения  $z_0$  (фазы волны) и составляет с осью  $y$  угол равный  $z_0$ .

- Запишем теперь выражение для энергии заряда в волне с круговой поляризацией с произвольным начальным импульсом ( $b = a$ ):

$$\mathcal{E} = \mathcal{E}_0 + \frac{a}{\pi_0} (p_{x0} + as_0) [\sin(\tau - z_0) + s_0] - \frac{a}{\pi_0} (p_{y0} + ac_0) [\cos(\tau - z_0) - c_0].$$

Энергия не будет изменяться со временем ( $\mathcal{E} = \mathcal{E}_0$ ), если

$$p_{x0} = -a \sin z_0, \quad p_{y0} = -a \cos z_0. \quad (27)$$

В этом случае:  $t = (\mathcal{E}_0/\pi_0)\tau$ . Из закона сохранения (19) следует, что импульс вдоль оси  $z$  остаётся постоянным ( $p_z = p_{z0}$ ). Траектория частицы в плоскости  $xy$  является окружностью:

$$x = x_0 - \frac{a}{\pi_0} [\cos(\tau - z_0) - c_0], \quad y = y_0 - \frac{a}{\pi_0} [\sin(\tau - z_0) + s_0],$$

где

$$\pi_0 = \mathcal{E}_0 - p_{z0}, \quad \mathcal{E}_0 = \sqrt{m^2 + a^2 + p_{z0}^2}.$$

Если  $p_{z0} = 0$ , то  $t = \tau$  и частица вращается по окружности с частотой, равной частоте волны. Если же  $p_{z0} \neq 0$ , то траектория частицы является спиралью, причём частота вращения по этой спирали тем меньше, чем быстрее частица движется вдоль оси  $z$ . Например, для  $x_0 = y_0 = z_0 = 0$  уравнение движения имеют вид:

$$x = R - R \cos(\Omega t), \quad y = -R \sin(\Omega t),$$

где параметры с восстановленными размерными константами равны:

$$\Omega = \omega \left( 1 - \frac{c p_{z0}}{\mathcal{E}_0} \right), \quad R = \frac{eac^2/\omega^2}{\mathcal{E}_0 - cp_{z0}}.$$

При движении частицы против оси  $z$  (на встречу волне) частота её вращения по спирали, наоборот, увеличивается.

Движущаяся по окружности частица имеет постоянные энергию и момент импульса. Подобным свойством обладает также движение частицы в однородном магнитном поле. Правда, в последнем случае радиус окружности может быть любой (при данном магнитном поле) и определяется начальной скоростью частицы. При движении в поле электромагнитной волны радиус строго фиксирован.

Подчеркнём, что подобное решение возникает, только при выполнении специфического начального условия (27). Подобное состояние заряда является неустойчивым и при небольших отклонениях от (27) “ось спирали” начинает наклоняться от оси  $z$ , а энергия периодически изменяться со временем.

## C Линейная поляризация

Рассмотрим теперь случай линейной поляризации  $b = 0$  (электрическое поле направлено по оси  $x$ , магнитное по оси  $y$ ). Пусть частица в момент времени  $t = 0$  движется вдоль оси  $z$  ( $p_{x0} = p_{y0} = 0$ ,  $p_{z0} \neq 0$ ) и находится в начале координат  $x_0 = y_0 = z_0 = 0$ . Тогда:

$$t = \frac{\mathcal{E}_0}{\pi_0} \tau + \frac{m^2}{4\pi_0^2} \alpha^2 (\tau - \sin \tau \cos \tau), \quad \mathcal{E} = \mathcal{E}_0 + \frac{m^2}{2\pi_0} \alpha^2 \sin^2 \tau.$$

Координаты частицы в параметрическом виде равны:

$$x = \frac{m}{\pi_0} \alpha (1 - \cos \tau), \quad y = 0, \quad z = \left( p_{z0} + \frac{m^2}{4\pi_0} \alpha^2 \right) \frac{\tau}{\pi_0} - \frac{a^2}{8\pi_0^2} \sin(2\tau).$$

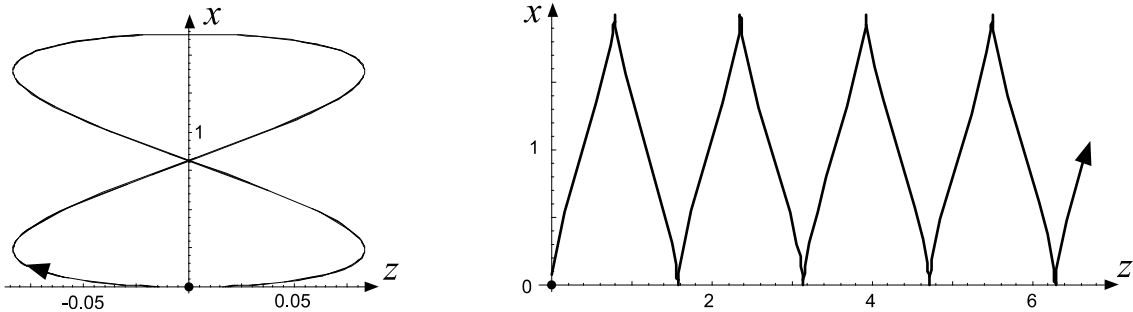
Компоненты импульса частицы:

$$p_x = m \alpha \sin \tau, \quad p_y = 0, \quad p_z = p_{z0} + \frac{m^2}{2\pi_0} \alpha^2 \sin^2 \tau.$$

Пусть в начальный момент времени частица движется против направления распространения волны с импульсом  $p_{z0} = -m^2 \alpha^2 / 4\pi_0$ , или, учитывая соотношение  $\pi_0 = \sqrt{m^2 + p_{z0}^2} - p_{z0}$ :

$$\frac{p_{z0}}{m} = -\frac{\alpha^2/4}{\sqrt{1+\alpha^2/2}}.$$

Тогда волна “остановит” частицу, и далее она начнёт описывать “восьмёрку”, лежащую в направлении оси  $x$  (левый рисунок,  $a = m = 1$ ). Если же  $p_{z0} = 0$ , то она приобретёт постоянную (в среднем) скорость вдоль оси  $z$  по пилообразной траектории (правый рисунок):

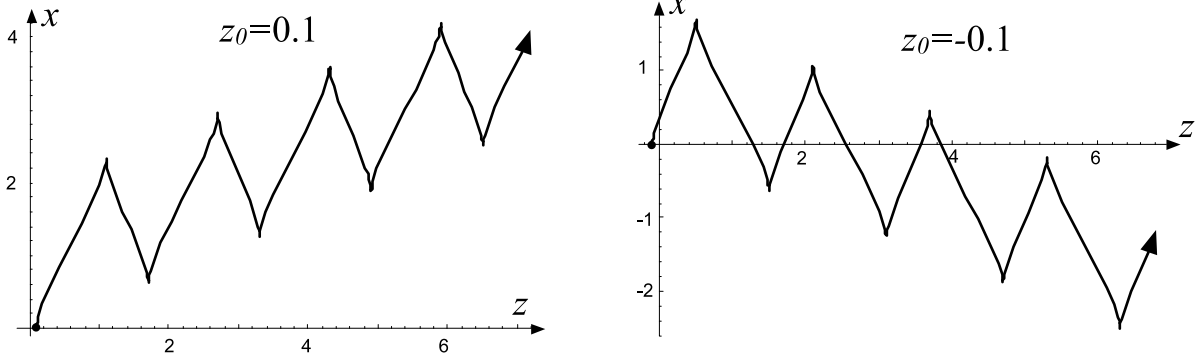


Заметим, что при таком движении энергия частицы периодически изменяется, имея среднее значение, которое превышает начальное  $\mathcal{E}_0$ . Отметим ещё значение момента импульса частицы для случая 8-ки:

$$M_x = 0, \quad M_y = -\frac{m\alpha^3}{4+2\alpha^2} \cos^3 \tau, \quad M_z = 0.$$

Среднее значение компонент момента по  $\tau$  (малые  $\alpha$ ) равно нулю.

Интересно, что, если покоящаяся частица имеет отличную от нуля начальную координату  $z_0 \neq 0$ , то будет происходить её снос вдоль оси  $x$  (вдоль электрического поля). Ниже на левом рисунке  $z_0 = 0.1$ , а на правом  $z_0 = -0.1$  и в обоих случаях  $a = m = 1$ :



Запишем решения для координаты и импульса вдоль оси  $x$  ( $a = \alpha m$ ):

$$x = \alpha [c_0 - \cos(\tau - z_0) + s_0 \tau], \quad p_x = m \alpha [s_0 + \sin(\tau - z_0)].$$

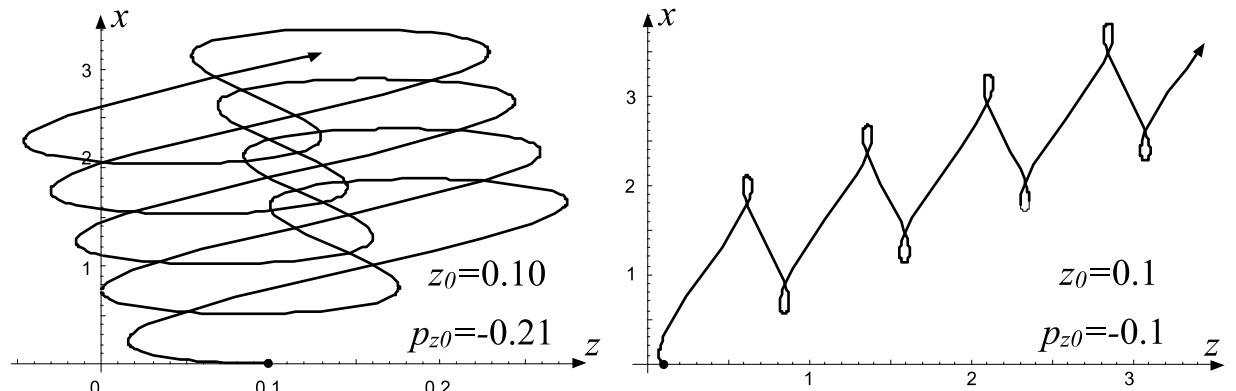
При этом вдоль оси  $y$  частица не движется ( $p_y = 0$ ). В этом случае связь между временем и параметром  $\tau$  достаточно громоздка:

$$\begin{aligned} t &= \left[ 1 + \frac{\alpha^2}{4} (2 - \cos(2z_0)) \right] \tau \\ &+ \frac{\alpha^2}{8} \left[ 3 \sin(2z_0) - \sin(2\tau - 2z_0) + 4 \sin(\tau - 2z_0) - 4 \sin(\tau) \right]. \end{aligned}$$

Энергия частицы равна:

$$\frac{\mathcal{E}}{m} = 1 + \frac{\alpha^2}{2} (c_0^2 + 2s_0^2) + \frac{\alpha^2}{2} [2s_0 \sin(\tau - z_0) - \cos^2(\tau - z_0)].$$

Вообще, траектория заряда, в зависимости от начальных условий, может быть достаточно затейливой. Ниже приведены траектории заряда при  $x_0 = y_0 = 0$ ,  $p_{x0} = p_{y0} = 0$  и различных значениях  $z_0$ ,  $p_{z0}$ :



В обоих случаях  $\alpha = 1$ .